

УДК 536.24

А.М.НИКИТИН, НТУ «ХПИ», Харьков

ВОЗМОЖНОСТЬ ТЕНЗОРНОГО ПРЕДСТАВЛЕНИЯ РЕЗУЛЬТАТОВ ИЗМЕРЕНИЯ ЛДИС

У даній роботі розглянута задача ідентифікації компонентів тензора Рейнольдса та результатів виміру ЛДВШ. Пропонується варіант рішення на підставі порівняння алгоритмів обробки сигналів лазерного доплерівського вимірника швидкості й Рейнольдса.

This paper consider the problem of identification of Reynolds' tensor components and results LDA-measurements. Offer a variant of the decision which based on comparison of signals-processing algorithm of laser Doppler anemometer and Reynolds' velocity algorithm.

Введение. В 2004 году на сайте журнала «Автометрия» [1] была опубликована тема научной дискуссии, которая полностью созвучна излагаемому ниже материалу. Актуальность этой темы поддерживает проблема соответствия результатов измерений методом лазерной доплеровской анемометрии (ЛДА) и параметрами среды, которые использованы в теоретическом описании турбулентных потоков. Сама проблема возникла ранее, и идентичность величин мгновенной и осредненной скоростей [3] для большинства экспериментальных задач обоснована сопоставлением результатов параллельных экспериментов, проведенных методами ЛДА и термоанемометрии. Задача идентификации компонентов тензора турбулентных напряжений подобным способом не решается из-за сложности изготовления термоанемометрических или других зондов с пространственным разрешением, близким к 10^{-5} м.

Постановка задачи. В данной работе обсуждается вариант задачи идентификации компонентов тензора Рейнольдса и результатов измерения ЛДИС на основании сравнения алгоритмов обработки сигналов лазерного доплеровского измерителя скорости ЛДИС и осреднения скорости Рейнольдса.

Исходная информация и решение. Метод ЛДА получает информацию о потоке жидкости или газа в результате обработки спектра сигналов, детектированных фотоприемником непосредственно от выбранной точки потока.

Структура канала обработки сигналов измерителя построена в блочном исполнении (см. рис. 1). Аналоговый блок (4) канала обработки сигналов выполняет функции детектирования, усиления, фильтрации и визуализации спектра. Спектр сигналов фиксируется в дискретном блоке (5) в виде гистограммы F_e и несет информацию о движении частиц жидкости в малом по величине измерительном объеме Λ_e .

Измерительный объем формируется областью интерференции когерентного модулированного излучения. Размеры интерференционного объема могут быть рассчитаны с необходимой точностью по формулам, приведенным в [2]. Параметры потока оказываются осредненными в трехмерной области с эффективным максимальным размером $\lambda_e \leq 10^{-4}$ м. Это позволяет измерять значения параметров турбулентного потока, аппаратно приведенные к координатам центра тяжести измерительного объема, по величине не превышающего $\Lambda_e \leq 10^{-12}$ м³.

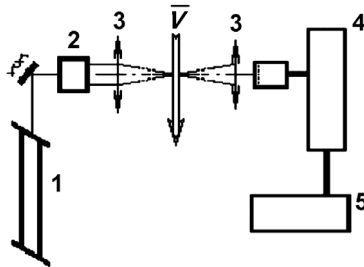


Рисунок 1 – Схема лазерного измерителя: 1 – оптический генератор; 2 – модулятор; 3 – объектив; 4 – аналоговый блок; 5 – дискретный блок; \bar{V} – зона потока жидкости

Оптическая схема (1, 2, 3, рис. 1) формирует ведущий параметр ЛДИС – вектор чувствительности доплеровского измерителя $|\bar{k}_e| = 2\pi/\lambda$. Его величина и направление в зоне течения определяются по методике, разработанной в [2, 3]. Интегральный спектр мгновенных откликов фотодетектора с определенной степенью дискретности отображается в блоке (5, рис. 1) и используется в дальнейшей обработке в виде гистограммы F_e . Параметры векторов чувствительности \bar{k}_e вместе с гистограммами спектров сигналов F_e составляют достаточный набор исходных данных для последующего определения значений параметров потока в заданной точке измерения.

Гистограмма спектра сигналов ЛДИС F_e несет информацию об искомым параметрах потока. Использование формулировки эффекта Доплера в виде [6], который устанавливает однозначное соответствие между проекцией вектора мгновенной скорости движущейся среды u_e , приведенной к координатам центра измерительного объема Λ_e , и вектором чувствительности измерителя \bar{k}_e , показывает, что мгновенный отклик фототока приемника не содержит никакой посторонней информации о потоке.

$$u_e = (V \cdot k_e). \quad (1)$$

Скалярное произведение (1) позволяет определить величину вектора скорости в случае коллинеарности векторов \overline{V} и \overline{k}_e или величину проекции \overline{V} на направление \overline{k}_e . Как показывает практика, выполнение условия коллинеарности векторов \overline{V} и \overline{k}_e в большинстве экспериментов затруднительно либо не реально. Оказывается эффективным использование таких конструкций ЛДИС, которые определяют компоненты мгновенных значений параметров потока. Тогда вариант метода ЛДА сводится к привязке данных к единой системе координат.

Между проекцией вектора мгновенной скорости \overline{V}_e и частотой фототока $i(t)$ в некоторый момент времени устанавливается однозначное соответствие. Спектр $F_e(\omega)$ сигналов ЛДИС является отображением в амплитудно-частотной плоскости некоторой совокупности единичных откликов $i(t)$, измеренных на протяжении малого промежутка времени T .

Вариант метода ЛДА, использующего методы спектрального анализа конечного числа N откликов фотодетектора $i(t)$, устанавливает достаточность выборки регистраций условием устойчивости энергетического спектра $F_e(\omega)$. Для квазистационарных процессов течения $F_e(\omega)$ можно представить в виде, аналогичном функции вероятности сигнала $i(\omega, t)$ с частотой ω в некоторый промежуток времени. Для дифференциальных оптических схем с точностью до констант [2] спектр доплеровского сигнала можно записать в виде:

$$F(\omega, t) = \int_{t-\tau_0}^{t+\tau_0} i^2(\omega, \tau) \cdot \exp(-j\omega\tau) \cdot d\tau. \quad (2)$$

Учитывая тот факт, что полезным сигналом в анемометрии считается сигнал, несущий информацию о движении частиц или неоднородностей в потоке, τ_0 принимается конечным. Величина τ_0 определяет точность измерения доплеровского сдвига частоты, а также скорости в исследуемой точке [4] по (1):

$$\overline{V} \cdot \overline{k}_e = \mu_1(F_e) \left| \overline{k}_e \right|^{-1}; \quad \mu_1(F_e) = \frac{\int_{t-\tau_0}^{t+\tau_0} \omega \cdot i^2(\omega, \tau) \cdot \exp(-j\omega\tau) \cdot d\tau}{\int_{t-\tau_0}^{t+\tau_0} i^2(\omega, \tau) \cdot \exp(-j\omega\tau) \cdot d\tau}, \quad (3)$$

$\mu_1(F_e)$ – первый центральный момент спектра $F_e(\omega)$.

Размер интервала интегрирования в (3) в реальных доплеровских измерителях находится в диапазоне ($10^{-3} \div 10^2$) с, в зависимости от конструкций оптических схем и быстродействия систем обработки спектров электрических сигналов.

Одноточечные парные корреляции, которые в некоторых работах называют турбулентными напряжениями, определяются по величине дисперсии доплеровского спектра по второму центральному моменту, аналогично (3):

$$\overline{u'_e u'_e} = \mu_2(F_e) \cdot \left| \overline{k}_e \right|^{-2}. \quad (4)$$

Определение $\mu_2(F_e)$ проводится на том же интервале $2\tau_0$. Как показано в

[6, 7] корреляцию (5) можно сопоставить с состоянием среды в точке течения на площадке с нормалью, совпадающей с направлением вектора \overline{k}_e . Учитывая изложенный подход, время формирования спектра сигнала ЛДИС $2\tau_0$ в течение точечных измерений можно ограничить временем достижения устойчивого положения гистограммы спектра в амплитудно-частотной плоскости.

Рассмотрим процедуру осреднения скорости Рейнольдса [5]. Мгновенная скорость \overline{V} представляется в виде суммы векторов осредненной скорости $\overline{\overline{V}}$ и вектора мгновенной пульсационной скорости $\overline{v(t)}$. При этом идентификация вводимых понятий достигается применением теоремы о среднем с интегрированием по временному интервалу t_R

$$\overline{\overline{V}}(t) = \frac{1}{t_R} \int_{t-R/2}^{t+R/2} \overline{V}(t) \cdot dt_R - \text{вектор осредненной скорости,} \quad (5)$$

$$\overline{v(t)} = \overline{V}(t) - \overline{\overline{V}}(t) - \text{вектор пульсационной скорости.} \quad (6)$$

Продолжительность интервала интегрирования t_R выбирается такой, что увеличение его не вызывает изменений вектора осредненной скорости $\overline{\overline{V}}$:

$$\lim_{\Delta t_R \rightarrow 0} [\Delta \overline{\overline{V}}(t)] = \lim_{\Delta t_R \rightarrow 0} [\overline{\overline{V}}_{(t_R + \Delta t_R)}(t) - \overline{\overline{V}}_{(t_R)}(t)] \rightarrow 0 \text{ или} \quad (7)$$

$$\lim_{\Delta t_R \rightarrow 0} \left[\frac{1}{t_R} \int_{t-(t_R + \Delta t_R)/2}^{t+(t_R + \Delta t_R)/2} \overline{V}(t) \cdot dt_R - \frac{1}{t_R} \int_{t-t_R/2}^{t+t_R/2} \overline{V}(t) \cdot dt_R \right] \rightarrow 0.$$

Выделяемый по (7) доминантный уровень распределения параметра $\overline{\overline{V}}(x_i, t)$ в области течения может рассматриваться в качестве информативного в дальнейшем изучении потока до тех пор, пока вектор пульсационной скорости $\overline{v(x_i, t)}$ можно считать малым и пригодным для моделирования. При этом случайная вектор-функция $\overline{v(x_i, t)}$ из (6), определенная в том же интервале t_R , что и вектор осредненной скорости $\overline{\overline{V}}$, должна удовлетворить условие

$$\frac{1}{t_R} \int_{t-t_R/2}^{t+t_R/2} \overline{v(x_i, t)} \cdot dt_R = 0, \quad (i = 1, 2, 3). \quad (8)$$

В то же время величина

$$\rho \cdot \overline{uv} = \frac{\rho}{t_R} \int_{t-t_R/2}^{t+t_R/2} [\overline{u(x_i, t)} \cdot \overline{v(x_i, t)}] \cdot dt_R \neq 0, \quad (i = 1, 2, 3) \quad (9)$$

представляет собой компонент тензора Рейнольдса, если $\overline{u(x_i, t)} \cdot \overline{v(x_i, t)}$ явля-

ются соответствующими координатными проекциями в декартовой системе координат. Формула (9) записана для сред с постоянной плотностью в точке исследования, что не является существенным для проблемы интерпретации результатов измерения ЛДИС. Это удобно при выделении из тензора Рейнольдса тензора кинематических корреляций $\overline{u_i u_j}$

$$[\pi_{ij}] = [\rho \cdot \overline{u_i u_j}] = \rho \cdot [\overline{u_i u_j}]; \quad i, j = x, y, z \quad (10)$$

$[\overline{u_i u_j}]$ – представляет собой трехмерный тензор второго ранга с девятью независимыми компонентами в общем случае.

Динамическое состояние среды в точке стационарного изотермического потока, описываемое уравнениями Рейнольдса [5], в принятых обозначениях

$$\left\{ \begin{array}{l} \frac{\partial U_i}{\partial x_j} U_j = -\frac{1}{\rho} \frac{\partial P}{\partial x_i} + \nu \Delta U_i + \frac{\partial}{\partial x_j} (-\overline{u_i u_j}); \\ \frac{\partial U_j}{\partial x_j} = 0; \end{array} \right. \quad , \quad i, j = 1, 2, 3. \quad (11)$$

Система уравнений Рейнольдса в виде (11) связывает с каждым из слагаемых определенные физические эффекты. Первое слагаемое $\frac{\partial U_i}{\partial x_j} U_j$ соответст-

вует «конвективному переносу»; второе $-\frac{1}{\rho} \frac{\partial P}{\partial x_i}$ влиянию инерционных сил;

$\nu \Delta U_i$ – явлению диффузии и $\frac{\partial}{\partial x_j} (\overline{u_i u_j})$ – эффекту «генерации турбулентности».

Как видим из (11), все феноменологические модели турбулентности пытаются оценить и учесть величину последнего слагаемого.

Принимая во внимание два похода, сформированные в разное время и различными технологиями, сопоставляя формулы (3), (4) и (5), (9), (10), можно установить соответствие между временным интервалом аппаратного формирования спектра сигналов ЛДИС и временем осреднения в процедуре Рейнольдса. Для квазистационарных течений равенство $2\tau_0 = t_R$ очевидно.

Предположим, что в течение малого интервала времени ($t \pm k \cdot \tau_0$) измерены все девять независимых компонентов тензора турбулентных корреляций

$$\begin{bmatrix} \overline{u_x u_x} & \overline{u_x u_y} & \overline{u_x u_z} \\ \overline{u_y u_x} & \overline{u_y u_y} & \overline{u_y u_z} \\ \overline{u_z u_x} & \overline{u_z u_y} & \overline{u_z u_z} \end{bmatrix} = \overline{u_i u_j}; \quad i, j = x, y, z. \quad (12)$$

В этом случае парная корреляция в произвольном направлении $\overline{u'_e u'_e}$ может быть вычислена [5] по известным значениям координатных косинусов l_{ei} , которые определяют это направление в принятой системе координат

$$\overline{u_i u_j} \cdot l_{ei} \cdot l_{ej} = u'_e u'_e; \quad i, j = x, y, z. \quad (13)$$

Очевидно, если направление вектора чувствительности измерителя $\overline{k_e}$ задано в пространстве декартовых координат значениями направляющих косинусов l_{ei} , то измеряемая по (4) и определенная по (13) величины $\overline{u'_e u'_e}$ эквивалентны:

$$\overline{u'_e u'_e} = \mu_2(F_e) \cdot \left| \overline{k_e} \right|^{-2} = \overline{u_i u_j} \cdot l_{ei} \cdot l_{ej}; \quad i, j = x, y, z. \quad (14)$$

Связь между величинами компонентов $\overline{u_i u_j}$ и измеряемыми величинами $\overline{u'_e u'_e}$ по формуле (14) линейна и позволяет выбрать такие направления измерения, что измеренные значения парных корреляций однозначно определяют полный набор компонентов тензора.

Адаптированный в [6, 7] для измерений компонентов тензора турбулентных корреляций вариант метода ЛДА позволяет получать оценку ошибки в процессе измерения. Для определения ошибок использовался метод избыточной информации, что позволило получить следующие выражения. Оценка максимальной относительной ошибки проекций осредненной скорости в точке измерения

$$\delta_U = \left[\sqrt{2} / 2 (U_x + U_z) - U_3 \right] / U_3 \quad (15)$$

максимальной относительной ошибки величины при измерении компонентов тензора турбулентных корреляций

$$\delta_\pi = 1 - \frac{\left\{ a^2 \alpha^2 [\sigma_2(F_2) + \sigma_2(F_1)] - 2[u'_x u'_x - u'_x u'_z + (a^2 + 1)u'_z u'_z] \sin^2 \gamma \right\}}{2(a-1)^2 u'_x u'_y \cos^2 \gamma}. \quad (16)$$

Выражения (15) и (16) получены для целевой схемы измерителя, поэтому дальнейшие преобразования и выводы не могут претендовать на общность. В то же время, предполагая достоверность равенства $2\tau_0 = t_R$ можно оценить предельную величину ошибки, которая укажет качество самой реализованной конструкции ЛДИС. Опираясь на величину спектральной ошибки δ_F , которую распространим на все измеряемые спектры сигналов, можно показать, что $\delta_{\mu 2} = 2 \delta_{\mu 1} = 2 \delta_F$, а, учитывая, что $\delta_\pi \approx \delta_{\mu 2}$ (15) и (16) получим:

- для компонентов корреляций $\delta_\pi = 5 \cdot \delta_{\mu 2} = 10 \cdot \delta_F$,
- для проекций скорости $\delta_U = 4 \cdot \delta_F$.

Предельная точность измерений определена в [3], которая оценивает величину относительной ошибки измерения скорости $\delta_{U0} \approx \Omega/\omega = 10^{-7}$. Можно ожидать, что аналогичная величина предельной ошибки измерения компонентов тензора турбулентных корреляций составит $\delta_\pi \approx 10 \cdot \Omega/4 \cdot \omega = 2,5 \cdot 10^{-7}$. Это значит, что точность измерений величин компонентов тензора турбулентных корреляций $\left[\overline{u_i u_j} \right]$, которая опубликована в [6] может быть улучшена.

Представление результатов эксперимента. Графический интерпретатор измеряемых параметров потока представляет изображения вектора осредненной скорости, годограф диагональных компонентов или «парных

пульсационных корреляций» (пунктирная линия) и сплошная линия для недиагональных компонентов. Система координат XY на диаграммах совпадает с общей системой координат модели.

Все рисунки и диаграммы выполнены в относительных масштабах. Величины приведенные на каждой диаграмме позволяют определить реальный масштаб изображений и проводить количественный анализ. При этом масштаб скорости не совпадает с масштабом компонентов напряжений, но для всех компонентов на данной диаграмме справедлив один и тот же масштаб. В качестве тестового направления выбрано направление, аналогичное главной оси тензора корреляций, направление для которого выполняется условие равенства нулю смешанных корреляций.

Приведенные диаграммы некоторых точек измерения в модели канала ленточнопоточного типа [4] позволяют наглядно представить некоторые особенности течения и подтверждают возможность точного описания турбулентных течений с помощью системы уравнений Рейнольдса.

Эпюры напряженного состояния демонстрируют проявление физических эффектов, выделяемых в системе уравнений (1), с учетом легенды, справедливой для всех приведенных диаграмм:

- — — — — вектор осредненной скорости потока U ;
- — — — — годограф парных турбулентных корреляций $\overline{u'_e u'_e}$;
- — — — — годограф непарных турбулентных корреляций $\overline{u'_e u'_o}$.

где вектор скорости и тестовое направление составляют углы, близкие к $\pm\pi/2$ (рис. 2), «инерционные эффекты» — $\frac{\partial P}{\partial x_i}$, соответствует преобладанию величин нормальных напряжений (рис. 3), «диссипация турбулентности» — $\mu\Delta U_i$, отмечается соразмерностью величин компонентов напряжений (рис. 4), «генерация турбулентности» — $\frac{\partial}{\partial x_j}(\rho u_i u_j)$, характерна в случае если направления вектора скорости и тестовое составляют углы, близкие к кратным $\pm\pi/2$ (рис. 5).

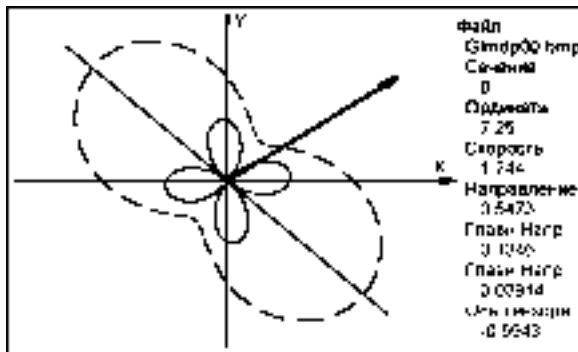


Рисунок 2

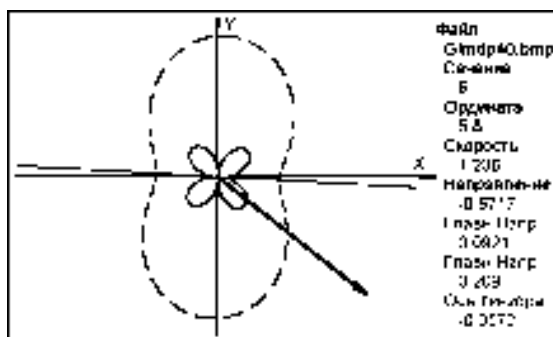


Рисунок 3

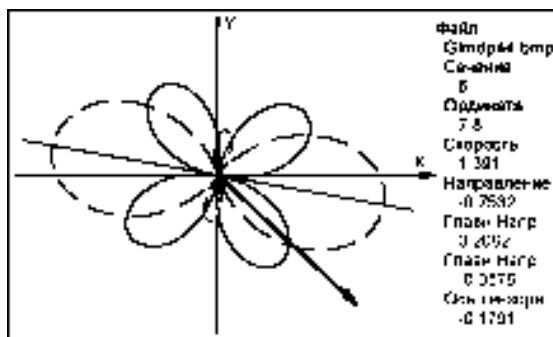


Рисунок 4

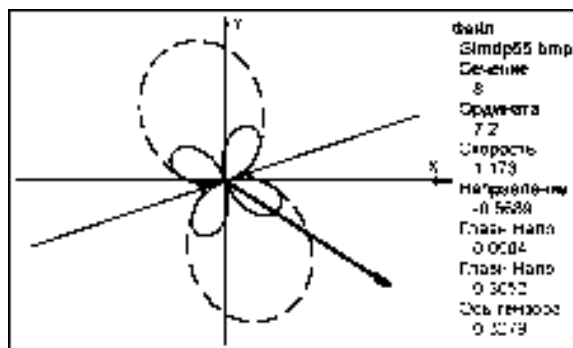


Рисунок 5

«Конвективный перенос» соответствует $\frac{\partial U_i}{\partial x_j} U_j$, преобладает в точках

Выводы. В результате сопоставления методов представления и обработки сигналов ЛДИС и осреднения Рейнольдса показана идентичность интервала времени аппаратного интегрирования при формировании спектра сигналов и

времени осреднения в процедуре Рейнольдса.

Показана возможность однозначного соответствия (14) между измерениями односточечных корреляций пульсаций лазерным доплеровским анемометром и значениями компонентов тензора Рейнольдса в одноименной системе уравнений.

Для ЛДИС, адаптированного к измерению величин компонентов тензора турбулентных корреляций, определена минимальная ошибка, возможная в случае стационарного турбулентного течения.

Список литературы: 1. Автметрия. – Новосибирск, изд-во СО РАН, 2004. – №№ 4-6. – <http://www.sibran.ru/avtw.htm>. 2. Дубнищев Ю.Н., Ринкевичус Б.С. Методы лазерной доплеровской анемометрии. – М.: Наука, 1982. – 304 с. 3. Дубнищев Ю.Н. и др. Лазерной доплеровские измерители скорости. – Новосибирск: Наука СО, 1975. – 164 с. 4. Дюррани Т., Грейтид К. Лазерные системы в гидромеханических измерениях. – М.: Энергия, 1980. – 336 с. 5. Лойцянский Л.Г. Механика жидкости и газа. – М.: Наука. 1978. 735 с. 6. Никитин А.М. Измерение кинематических параметров турбулентных течений // Вестник НТУ «ХПИ». Тематический выпуск: «Энергетические и теплотехнические процессы и оборудование». – Харьков: НТУ «ХПИ». – 2005. – № 29. – С. 35-42. 7. Товажнянский Л.Л., Никитин А.М. и др. Лазерная диагностика потоков. Часть 1. Двумерные модуляторы лазерного излучения // Вестник НТУ «ХПИ». Тематический выпуск: «Динамика и прочность машин». – Харьков: НТУ «ХПИ». – 2004. – № 12. – С. 139-146.

Поступила в редакцию 06.10.2008.